

О СТАЦИОНАРНЫХ РЕЖИМАХ ГОРЕНИЯ С УЧЕТОМ  
ТЕПЛООТВОДА

Э. А. Чернова

(Москва)

Делается попытка исследования числа возможных стационарных режимов горения в проточной полубесконечной трубе с учетом теплоотвода через стенки. Рассматриваются случаи, когда в реактивной смеси происходит реакция нулевого порядка или имеется подобие полей концентраций и температур. Производится осреднение уравнений по поперечной координате  $\eta$ . В рамках принятых приближений получается, что число стационарных режимов горения определяется корнями  $\theta_n$  некоторой функции. Корням  $\theta_{2k}$  отвечают лишь тривиальные неустойчивые решения. Корням  $\theta_{2k-1}$  отвечают режимы, возможные в широких областях изменения параметров, характеризующих температуру подаваемой смеси, скорость подачи и теплоотвод. Указанные области пересекаются, образуя зоны, где существует сразу несколько стационарных режимов. В этих зонах, кроме монотонных решений, могут быть еще решения, делающие вначале несколько колебаний. Показано, что, по-видимому, последние будут неустойчивы и в конечном счете приведут к одному из монотонных режимов. Подробно рассматривается обычный для практики случай, когда число корней не более трех.

Если функция тепловыделения может менять знак, то подобная картина будет наблюдаться и при отсутствии теплоотвода через стенки (корни  $\theta_{2k-1}$  и  $\theta_{2k}$  могут меняться ролями). При этом отпадает необходимость осреднения уравнений по  $\eta$ , так как производные по ней там будут отсутствовать.

Рассматривается полуограниченная цилиндрическая труба с радиусом  $r_0$ , в которую с торца с постоянной скоростью  $w$  подается реакционная смесь с температурой  $T_-$ . Уравнения стационарного горения в ней берутся в виде

$$\begin{aligned} a \frac{\partial^2 u}{\partial \xi^2} + \frac{b}{\eta} \frac{\partial}{\partial \eta} \left( \eta \frac{\partial u}{\partial \eta} \right) - \frac{\partial u}{\partial \xi} + f(u) = 0 \\ \xi = 0, \quad u = u_-; \quad \eta = 0, \quad \partial u / \partial \eta = 0; \quad \eta = 1, \quad u = 0 \quad (1) \\ u = \frac{(T - T_0) E}{R T_0^2}, \quad \xi = \frac{x F(T_0) E}{w R T_0^2}, \quad \eta = \frac{r}{r_0}, \quad f(u) = \frac{F(T)}{F(T_0)} \\ a = \frac{\varkappa_1 F(T_0) E}{w^2 R T_0^2}, \quad b = \frac{\varkappa_2 R T_0^2}{r_0^2 F(T_0) E} \end{aligned}$$

Здесь  $T$  — температура;  $T_0$  — температура на стенках;  $E$  — энергия активации;  $R$  — универсальная постоянная;  $x, r$  — продольная и радиальная координаты;  $\varkappa_1, \varkappa_2 = \text{const}$  — эффективные коэффициенты температуропроводности по этим направлениям;  $F(T)\rho c \geqslant 0$  — функция тепловыделения ( $\rho c = \text{const}$  — удельная объемная теплоемкость смеси).

К задаче (1) сводится случай подобия между полем концентраций  $C$  и температур  $T$ , который осуществляется при  $\varkappa_{1,2} = D_{1,2}$  ( $D$  — коэффициент диффузии) и подобии граничных условий для  $C$  и  $T$ , что предполагает непрерывный подвод активного вещества и частичный отвод продуктов сгорания через стенки. К задаче (1) приводит также случай реакции нулевого порядка. Последним можно воспользоваться, например, при малом убывании активного вещества в трубе достаточно большой длины, что часто имеет место в химической технологии. Пренебрежение убыванием актив-

ного вещества мажорирует функцию тепловыделения, что помогает оценить область условий, при которых не будет происходить нежелательного здесь воспламенения.

В [1-4] приводится исследование стационарных режимов горения в непроточных сосудах плоской, цилиндрической и сферической формы, описываемых в цилиндрическом случае уравнением (1) без первого и третьего членов, а в плоском — уравнением вида (2) без второго и последнего членов. Стационарное горение в проточных камерах исследовалось в основном, например, в [5-7] без учета влияния теплоотвода через стенки, хотя последний может иногда играть существенное значение. В [8] предпринята попытка изучения этого влияния. Исследовалось уравнение (1), в котором отбрасывался первый член (что справедливо при малых  $a$ ), а функция  $f(u)$  линеаризировалась. Такие упрощения сильно искажают качественную картину явления, в частности, не позволяют охватить возможность неединственности решения.

Исследуем уравнение (1) при помощи интегрального метода (осреднение уравнения по  $\eta$ ). При этом  $u(\xi, \eta)$  представим, например, в виде суммы степеней  $\eta$  не выше второй с коэффициентами, зависящими от  $\xi$ , т. е. с учетом граничных условий  $u(\xi, \eta) = \theta(\xi)(1 - \eta^2)$ . Подставляя выражение такого типа в уравнение (1) и интегрируя последнее по поперечному сечению трубы, получим

$$a \frac{d^2\theta}{d\xi^2} - \frac{d\theta}{d\xi} - \psi(0) + \frac{\theta}{\delta} = 0 \quad (2)$$

$$\delta = \frac{r_0^2 F(T_0) E}{8\kappa_2 R T_0^2}, \quad \psi(0) = 4 \int_0^1 f[\theta(1 - \eta^2)] \eta d\eta$$

Здесь общий вид уравнения (2) и весь дальнейший анализ не изменится, если  $u(\xi, \eta)$  приблизить по  $\eta$  другими какими-либо функциями или вообще взять ее не зависящей от  $\eta$  (роль  $1/\delta$  будет играть коэффициент теплоотдачи). Плоский случай также приводит к уравнению (2).

Ищем ограниченные решения уравнения (2). Это исключает неопределенность, состоящую в возможности наличия на бесконечности источников тепла. Для решений, принимающих на бесконечности значение  $\theta_+$ , граничные условия можно взять в виде

$$\xi = 0, \theta = \theta_-; \quad \xi = \infty, \theta = \theta_+ \quad (3)$$

Отсюда вытекает, что  $d\theta/d\xi = 0, d^2\theta/d\xi^2 = 0$  при  $\xi = \infty$  и, следовательно, согласно (2), значения  $\theta_+$  должны быть корнями функции

$$\psi(\theta) = \varphi(0) - \theta/\delta \quad (4)$$

Если  $\psi(\theta)$  не имеет корней, то стационарных режимов горения, принимающих на бесконечности определенное значение, не существует.

Пусть  $\psi(\theta)$  имеет  $N$  корней  $0 < \theta_1 < \theta_2 < \dots < \theta_N$  (корни неотрицательны, так как  $\psi(\theta) > 0$  при  $\theta < 0$ ). Тогда задачу (2), (3) можно свести к следующим  $N$  задачам ( $n = 1, 2, \dots, N$ )

$$\begin{aligned} \frac{dp}{d\theta} &= \frac{1}{a} - \frac{\psi(\theta)}{ap}, & \frac{d\theta}{d\xi} &= p \\ \xi = \infty, \theta &= \theta_n, p = 0; & \xi = 0, \theta &= \theta_- \end{aligned} \quad (5)$$

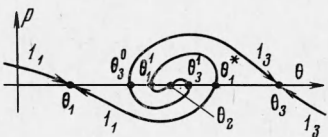
На плоскости  $\theta p$  точки  $(\theta_n, 0)$  особые и, поскольку других особенностей нет, они будут обозначаться через  $\theta_n$ . Для определения вида  $\theta_n$  составляется характеристическое уравнение с корнями

$$\mu_{1,2} = 1/2 (1 \pm \sqrt{1 - \sigma_n}), \quad \sigma_n = 4a\psi'(\theta_n) \quad (6)$$

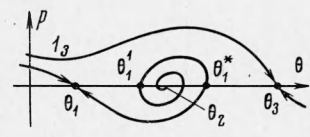
Предположим сначала, что  $\psi(\theta)$  непрерывна вплоть до первой отличной от нуля производной и  $|\psi'(\theta)| < \infty$ . Функция  $\psi(\theta) > 0$  при  $\theta < 0$ . Поэтому  $\psi(\theta) > 0$  при  $\theta < \theta_1$ , и, следовательно, в случае простых корней  $\psi'(\theta_1) < 0, \psi'(\theta_2) > 0, \dots, \psi'(\theta_{2k-1}) < 0, \psi'(\theta_{2k}) > 0$  и т. д. Отсюда,

согласно (6), точка  $\theta_{2k-1}$  ( $k = 1, 2, \dots$ ) будет седлом, а  $\theta_{2k}$  — узлом при  $\sigma_{2k} \leq 1$  и фокусом при  $\sigma_{2k} > 1$  (фиг. 1—3).

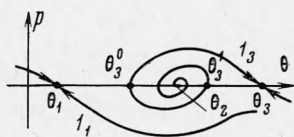
Указанное чередование сохраняется и в случае кратного корня  $\theta_{n,i}$  ( $\theta_n = \theta_{n+1} = \dots = \theta_i$ ). Согласно аналитическим критериям, данным в [9], с учетом знака  $\psi(\theta)$  левая половина  $\theta_n$  точки  $\theta_{n,i}$  при  $n = 2k$  будет узлом (вид кривых вблизи него показан на фиг. 4), а при  $n = 2k - 1$  —



Фиг. 1



Фиг. 2



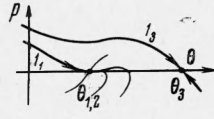
Фиг. 3

седлом (фиг. 5). Аналогично правые половины  $\theta_i$  точек  $\theta_{n,i}$  на фиг. 4, 5 соответствуют случаям  $i = 2j - 1$  (седло) и  $i = 2j$  (узел). Если вид обеих половин точки  $\theta_{n,i}$  одинаков (корень нечетной кратности), то ее можно обозначать через  $\theta_n$ .

Наклоны  $\lambda_1, \lambda_2$  кривых, проходящих через седло и узел, а также вид кривых в полярных координатах вблизи фокуса ( $B$  — произвольная постоянная) будут



Фиг. 4



Фиг. 5

$$\begin{aligned} \lambda_{1,2}(\theta_n) &= \mu_{1,2}(\theta_n) a^{-1} \\ \rho &= B \exp [-(\sigma_n - i)^{-1/2} \omega] \end{aligned} \quad (7)$$

Если положить, что движение по кривым в плоскости  $\theta\rho$  происходит в сторону увеличения  $\xi$  ( $d\theta/p = d\xi > 0$ ), то всякая кривая, идущая от прямой  $\theta = \theta_-$  и входящая в точку  $\theta_n$ , обеспечит решение задачи (5), и обратно. Действительно, если взять криволинейный интеграл

$$\int_{(\theta_-, \theta)} \frac{d\theta}{p} = \xi(\theta)$$

по такой кривой, то  $\xi(\theta_-) = 0$ ,  $\xi(\theta_n) = \infty$  (в точке  $\theta_n$  интеграл расходится), и  $\xi(\theta)$ , монотонно возрастающая вдоль указанной кривой, определит искомую функцию  $\theta(\xi)$  единственным образом. Обратное очевидно.

В верхней полуплоскости, где  $p > 0$ , движение по кривым происходит слева направо, в нижней — наоборот. Поэтому у точек  $\theta_{2k}$  (фиг. 1—3) кривые расходятся, и решений с  $\theta_+ = \theta_{2k}$  не существует (за исключением тривиального решения  $\theta \equiv \theta_{2k}$  при  $\theta_- = \theta_{2k}$ , которое можно считать неустойчивым).

В точку  $\theta_{2k-1,2j}$  (фиг. 5) слева, в  $\theta_{2s, 2k-1}$  (фиг. 4) справа, а в  $\theta_{2k-1}$  (фиг. 1—5) с обеих сторон входит кривая  $I_{2k-1}$  с наклоном  $\lambda_2(\theta_{2k-1}) \leq 0$ . Остается установить, для каких значений  $\theta_-$  эти кривые дают решение.

Пусть  $\psi(\theta)$  имеет корни  $\theta_1 < \theta_2 < \theta_3$ . Из (5) с учетом знака  $\psi(\theta)$  следует

$$\left| \frac{dp}{d\theta} \right|_{p \neq 0} < \infty, \quad \left( \frac{dp}{d\theta} \right)_{p=\pm 0} = \begin{cases} \mp \infty & (\theta < \theta_1, \theta_2 < \theta < \theta_3) \\ \pm \infty & (\theta_1 < \theta < \theta_2, \theta > \theta_3) \end{cases} \quad (8)$$

Если от точки  $\theta_1$  идти по кривой  $I_1$  против движения, то, согласно (8), левая ее ветвь не может повернуть назад, пересечь ось  $\theta$  или иметь вертикальную асимптоту, а идет все время влево (фиг. 1—3), обеспечивая решение с  $\theta_+ = \theta_1$  (первый режим) для всех  $\theta_- \leq \theta_1$  (физический смысл имеют только  $\theta_- > -E/R T_0$ ). Правая же ее ветвь, идя вправо, либо пересечет ось  $\theta$  в точке  $\theta_1^* \in [\theta_2, \theta_3]$  (фиг. 1, 2), либо будет

идти дальше (фиг. 3) до бесконечности ( $\theta_1^* = \infty$ ). Если  $\theta_1^* = \theta_2$  или  $\theta_1^* = \theta_3$ , то можно идти только до точки  $\theta_1^*$ , так как вход (выход) в  $\theta_n$  соответствует бесконечным изменениям  $\xi$ .

Если  $\theta_2 < \theta_1^* < \theta_3$ , то из  $\theta_1^*$  кривая  $I_1$ , согласно (8), пойдет влево в верхнюю полуплоскость, дойдет до прямой  $\theta = \theta_2$  и пересечет ось  $\theta$  в точке  $\theta_1 < \theta_1^* < \theta_2$ , так как, согласно (5) — (7),

$$(dp / d\theta)_{p>0} = - (dp / d\theta)_{p<0} + 2 / a \quad (9)$$

В  $\theta_1^*$  кривая  $I_1$  снова поворачивает и идет в нижней полуплоскости вправо, пересекая ось  $\theta$  при  $\theta_2 < \theta < \theta_1^*$  и т. д. В результате она будет входить в точку  $\theta_2$ , делая при  $\sigma_2 > 1$  бесконечное число витков (фиг. 2), а при  $\sigma_2 \leq 1$  — конечное (фиг. 1). Таким образом, правая ветвь кривой  $I_1$  даст решение с  $\theta_+ = \theta_1$  для  $\theta_1 \leq \theta_- \leq \theta_1^*$  (при  $\theta_1^* = \theta_2$  или  $\theta_1^* = \theta_3$  для  $\theta_1 \leq \theta_- < \theta_1^*$ ), причем при  $\theta_1^* \leq \theta_- \leq \theta_1^*$ ,  $\theta_2 < \theta_1^* < \theta_3$  к монотонному решению добавляются решения (при  $\theta_+ = \theta_2$ ,  $\sigma_2 > 1$  их бесконечно много), делающие вначале конечное число колебаний около  $\theta_2$ .

Аналогично кривая  $I_3$  дает решение с  $\theta_+ = \theta_3$  (третий режим) для  $\theta_- \geq \theta_3^0$  (при  $\theta_3^0 = \theta_2$  или  $\theta_3^0 = \theta_1$  для  $\theta_- > \theta_3^0$ ), где  $\theta_3^0 \in [\theta_1, \theta_2]$  (фиг. 1, 3) или  $\theta_3^0 = -\infty$  (фиг. 2). При  $\theta_3^0 \leq \theta_- \leq \theta_3^0$ ,  $\theta_1 > \theta_3^0 < \theta_2$  будут решения, колеблющиеся некоторое время у  $\theta_2$ .

Анализ показывает, что при  $\theta_- < \theta_3^0$  может осуществляться только первый режим ( $\theta_+ = \theta_1$ ), при  $\theta_1 > \theta_1^*$  — только третий ( $\theta_+ = \theta_3$ ). При  $\theta \in [\theta_3^0, \theta_1^*]$  возможны оба эти режима, причем, наряду с монотонными, здесь могут быть решения, колеблющиеся вначале около  $\theta_2$ , а при  $\theta_- = \theta_2$  имеется еще неустойчивый второй режим ( $\theta \equiv \theta_2$ ). Точка  $\theta_1^*$ , лежащая либо на отрезке  $[\theta_2, \theta_3]$ , либо уходящая в бесконечность, будет максимальной температурой, до которой можно нагревать подаваемую смесь, чтобы осуществлялся первый режим, представляющий собой обычно медленное беспламенное горение. При увеличении  $\theta_-$  будет возможен уже только третий, высокотемпературный, режим. Поэтому  $\theta_1^*$  можно назвать температурой зажигания, а  $\theta_3^0$ , аналогично, — температурой гашения ( $\theta_1 \leq \theta_3^0 \leq \theta_2$ , либо  $\theta_3^0 = -\infty$ ).

Оценим значения  $\theta_1^*$ ,  $\theta_3^0$ . Согласно (5) — (7),

$$\begin{aligned} \left( \frac{dp}{d\theta} \right)_{p<0} &> \frac{1}{a} + \frac{m}{ap}, \quad \left( \frac{dp}{d\theta} \right)_{p>0} > \frac{1}{a}, \quad m = -\min \psi(\theta) \quad (\theta_1 \leq \theta \leq \theta_2) \\ \left( \frac{dp}{d\theta} \right)_{p<0} &> \frac{1}{a}, \quad \left( \frac{dp}{d\theta} \right)_{p>0} > \frac{1}{a} - \frac{M}{ap}, \quad M = \max \psi(\theta) \quad (\theta_2 \leq \theta \leq \theta_3) \end{aligned}$$

Соответствующая интеграция этих неравенств дает следующие оценки, справедливые на отрезке  $[\theta_1, \theta_3]$

$$\begin{aligned} \frac{\theta_1^* - \theta_2}{am} - \ln \left[ 1 - \frac{\theta_1^* - \theta_2}{am} \right] &< \frac{\theta_2 - \theta_1}{am} \\ \frac{\theta_2 - \theta_3^0}{aM} - \ln \left[ 1 - \frac{\theta_2 - \theta_3^0}{aM} \right] &< \frac{\theta_3 - \theta_2}{aM} \end{aligned} \quad (10)$$

Из неравенства  $dp / d\theta > -\psi(\theta) / ap$  следует, что  $\theta_1^* < \theta_1^*$ , а  $\theta_3^0 > \theta_3^0$ , где  $\theta_1^*$  и  $\theta_3^0$  — корни функций

$$\int_{\theta_1}^{\theta} \psi(\theta) d\theta, \quad \int_{\theta}^{\theta_3} \psi(\theta) d\theta$$

соседние с  $\theta_1$  и  $\theta_3$  соответственно. Отсюда и из (10) следует

$$\begin{aligned} 0 \leq \theta_1^* - \theta_2 &\leq \min [\theta_1^* - \theta_2, am, \sqrt{2am(\theta_2 - \theta_1)}] \\ 0 \leq \theta_2 - \theta_3^0 &\leq \min [\theta_2 - \theta_3^0, aM, \sqrt{2aM(\theta_3 - \theta_2)}] \end{aligned} \quad (11)$$

Последние две оценки в квадратных скобках пригодны, пока они не превышают соответственно  $\theta_3 - \theta_2$  и  $\theta_2 - \theta_1$ . Если  $Q = 0$ , где

$$Q = \int_{\theta_1}^{\theta_3} \psi(\theta) d\theta$$

то  $\Theta_1^* = \theta_3$ ,  $\Theta_3^0 = \theta_1$ , и, следовательно,  $\theta_1^* < \theta_3$ ,  $\theta_3^0 > \theta_1$ ; если  $Q > 0$ , то, принимая во внимание знаки функции  $\psi$  под интегралом, получим  $\Theta_1^* < \theta_3$ ,  $\Theta_3^0 = -\infty$ , т. е.  $\theta_1^* < \theta_3$ ; если  $Q < 0$ , то  $\Theta_3^0 > \theta_1$ ,  $\Theta_1^* = \infty$  и  $\theta_3^0 > \theta_1$ . Таким образом, при  $Q = 0$  обе критические температуры ( $\theta_1^*$  и  $\theta_3^0$ ), при  $Q > 0$  температура зажигания, а при  $Q < 0$  температура гашения существуют при любых  $a$  ( $Q$  растет с увеличением  $\delta$ ).

Если уменьшать  $a$ , то, согласно (11), для каждого  $Q$  найдется  $a^*$  (для  $Q = 0$  это  $a = \infty$ ), при котором станет  $\theta_1^* < \theta_3$ ,  $\theta_3^0 > \theta_1$ . С дальнейшим уменьшением  $a$  (например увеличением скорости  $w$  подачи смеси)  $\theta_1^*$  и  $\theta_3^0$  приближаются к  $\theta_2$ , сокращая область неединственности решений, амплитуда и число колебаний в колеблющихся решениях, согласно (9), уменьшаются,  $\theta_2$  становится узлом, и наступит момент, когда  $\theta_1^* = \theta_3^0 = \theta_2$ .

С увеличением  $a$  точки  $\theta_1^*$  и  $\theta_3^0$  расходятся, приближаясь соответственно к  $\Theta_1^*$  и  $\Theta_3^0$ , так что при  $a > a^*$  для  $Q > 0$  третий режим, а для  $Q < 0$  — первый режим становятся возможными при любых  $\theta_-$ , и температура гашения (зажигания) перестает существовать. Точка  $\theta_2$  с ростом  $a$  становится фокусом, а при  $a = \infty$  ( $w = 0$ ) — центром. Количество колеблющихся решений и число колебаний в них около  $\theta_2$  растет, и при  $a = \infty$  они вырождаются в бесконечное множество решений, совершающих периодические колебания около  $\theta_2$  с амплитудой от 0 до  $\min(\Theta_1^*, \theta_3) - \max(\Theta_3^0, \theta_1)$  и не принимающих при  $x = \infty$  определенного значения. (При  $a = \infty$ , взяв  $\xi = x / r_0$ , получим  $dp/d\theta = -\psi(\theta) / bp$  и  $\theta_1^* = \Theta_1^*$ ,  $\theta_3^0 = \Theta_3^0$ ).

В случае небольшого повышения (понижения) температуры при пересечении колеблющимся решением оси  $\theta$  справа (слева) может произойти переход к колебанию с большей амплитудой (при  $a < \infty$  к решению, делающему меньшее число колебаний), и поэтому можно ожидать, что колеблющиеся решения будут неустойчивы, и в конечном счете приведут к одному из двух монотонных режимов (с  $\theta_+ = \theta_1$  или  $\theta_+ = \theta_3$ ).

Если уменьшать  $\delta$ , то  $\theta_1$  и  $\theta_3$  уменьшаются, а  $\theta_2$ ,  $\theta_1^*$  и  $\theta_3^0$  возрастают, так что при  $\delta < \delta_1(a)$  будет  $\theta_1^* = \infty$ , при  $\delta = \delta^0$  точки  $\theta_2$  и  $\theta_3$  совпадут, образуя точку  $\theta_{2,3} = \min_\delta \theta_3$  (фиг. 4). При  $\delta < \delta^0$  точка  $\theta_{2,3}$  совсем исчезает, и для всех  $\theta_-$  будет существовать только первый, беспламенный режим. Поэтому  $\theta_{2,3}$  можно назвать температурой потухания. (Предполагается, что других корней, кроме рассмотренных, функция  $\psi(\theta)$  не имеет.)

С увеличением  $\delta$  наблюдается обратная картина. При  $\delta > \delta_3(a)$  будет  $\theta_3^0 = -\infty$ , а при  $\delta = \delta^*$  достигается  $\max_\delta \theta_1 = \theta_{1,2}$  (фиг. 5). Точка  $\theta_{1,2}$  называется температурой воспламенения, так как при  $\delta > \delta^*$  ее не будет, и первый режим перестает существовать.

Критические значения  $\delta^0$ ,  $\delta^*$  и  $\theta_{2,3}$ ,  $\theta_{1,2}$  определяются из уравнений

$$\psi(\theta, \delta) = 0, \quad d\psi/d\theta = 0 \quad (12)$$

Если  $K = \lim | \theta^{-1} \varphi(\theta) | \neq 0$  при  $\theta \rightarrow \infty$ , что может иметь место в случае реакции нулевого порядка, то при  $\delta > 1/K$  исчезает  $\theta_3$ , и стационарные режимы будут невозможны при  $\delta > \max(1/K, \delta^*)$  для любых  $\theta_-$  и  $a$ , а при  $1/K < \delta \leq \delta^*$  (если  $1/K < \delta \leq \delta^*$ ) только для  $\theta_- > \theta_1^*$  (наступит взрыв).

Итак, соответствующий  $\theta_1$ , низкотемпературный, беспламенный режим возможен при  $\delta < \delta^0$  и при  $\delta^0 \leq \delta \leq \delta^*$ ,  $\theta_- \leq \theta_1^*(a, \delta)$ ; соответствующий  $\theta_3$ , высокотемпературный режим возможен при  $\delta^* \leq \delta < 1/K$  (если  $\delta^* < 1/K$ ) и при  $\delta^0 \leq \delta < \min(\delta^*, 1/K)$ ,  $\theta_- \geq \theta_3^0(a, \delta)$  (в случае подобия полей  $C$  и  $T$  он возможен при  $\delta > \delta^*$  и при  $\delta^0 \leq \delta \leq \delta^*$ ,  $\theta_- \geq \theta_3^0$ ). В указанных областях вне зоны их пересечения стационарные режимы

